

Figura 40: Espectro de ¹³C {¹H} RMN a 50 MHz do composto **8d** em CDCl₃, duplicação de sinais devido à mistura entre as tetraidropiridinas mono e dissustituídas.

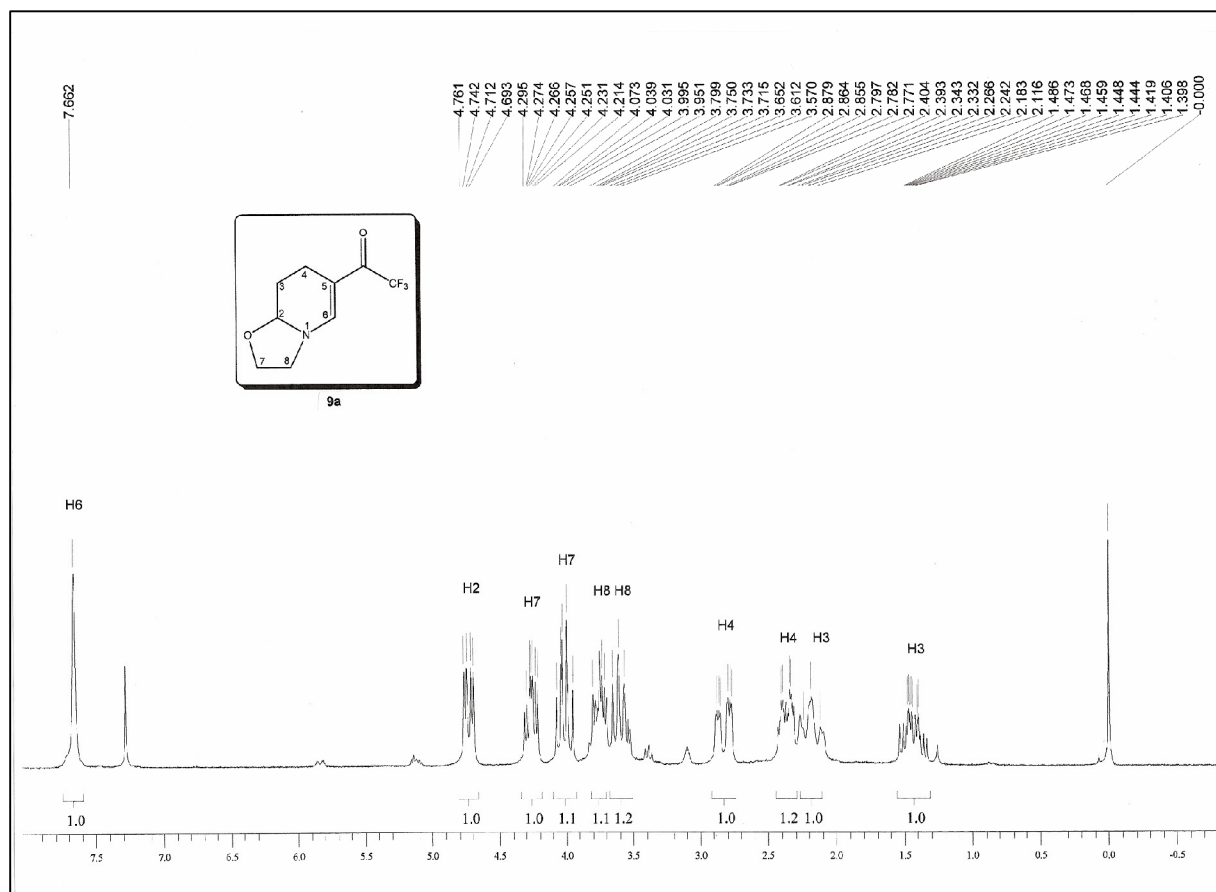


Figura 41: Espectro de ¹H RMN a 200 MHz do composto **9a** em CDCl₃.

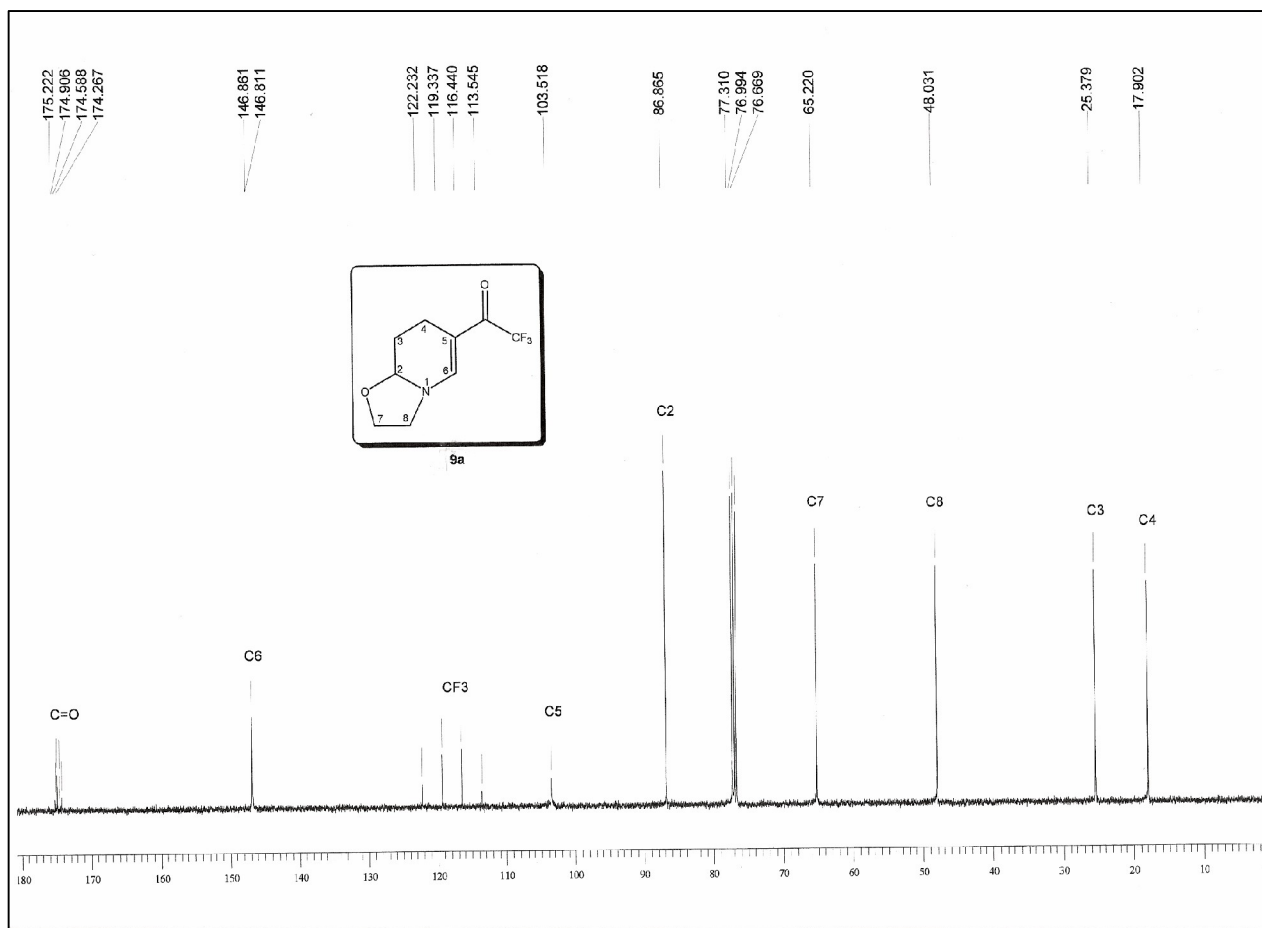


Figura 42: Espectro de $^{13}\text{C} \{^1\text{H}\}$ RMN a 100 MHz do composto **9a** em CDCl_3 .

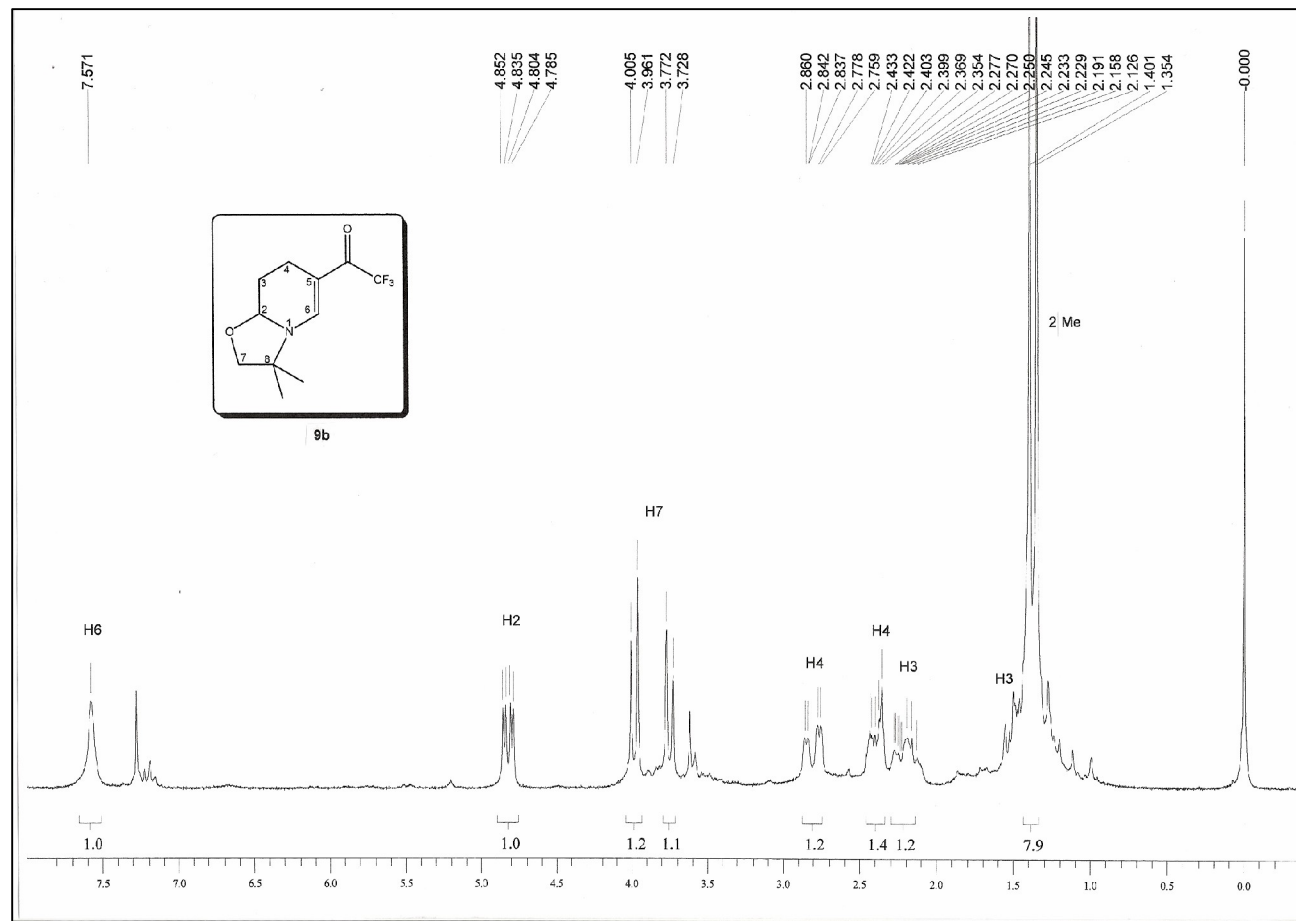


Figura 43: Espectro de ^1H RMN a 200 MHz do composto **9b** em CDCl_3 .

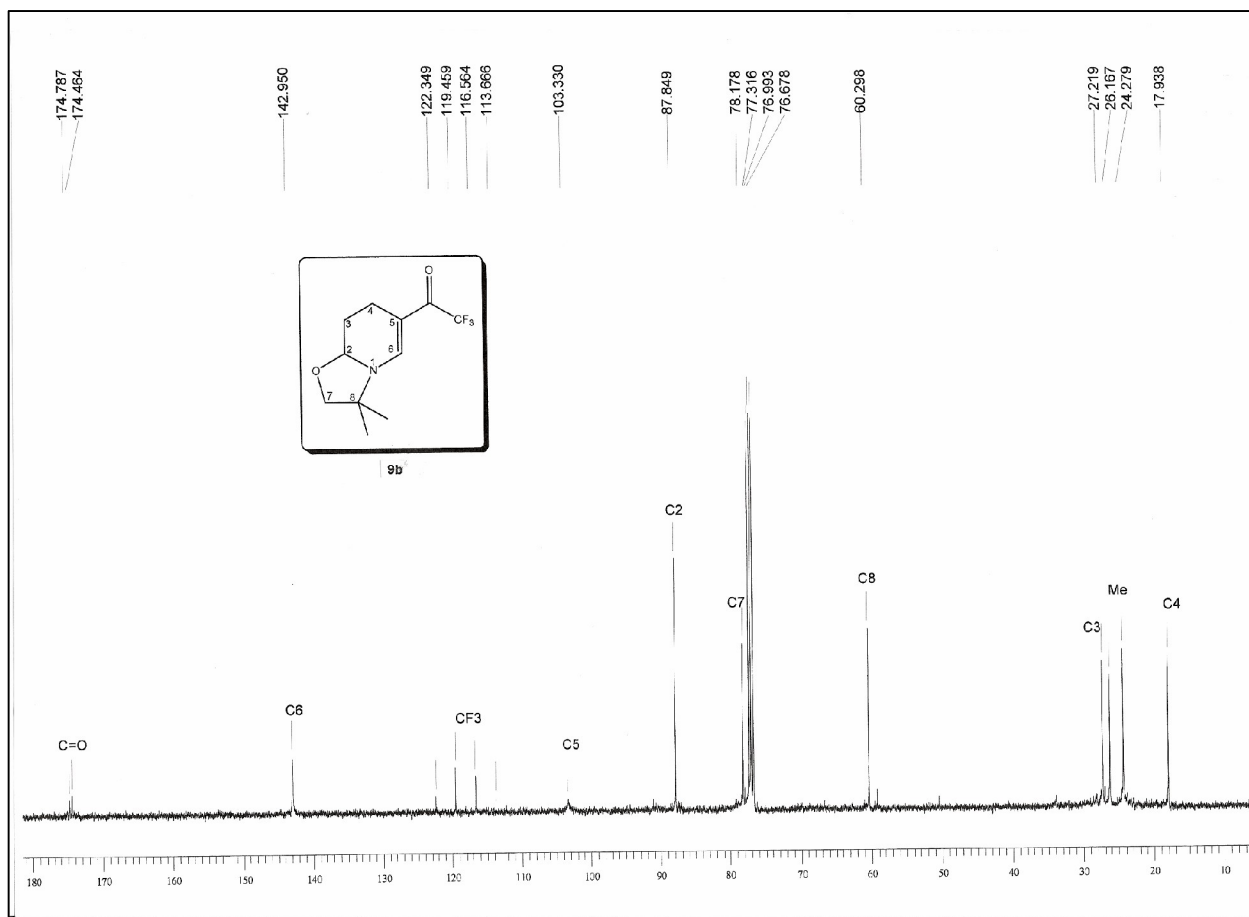


Figura 44: Espectro de $^{13}\text{C} \{^1\text{H}\}$ RMN a 100 MHz do composto **9b** em CDCl_3 .

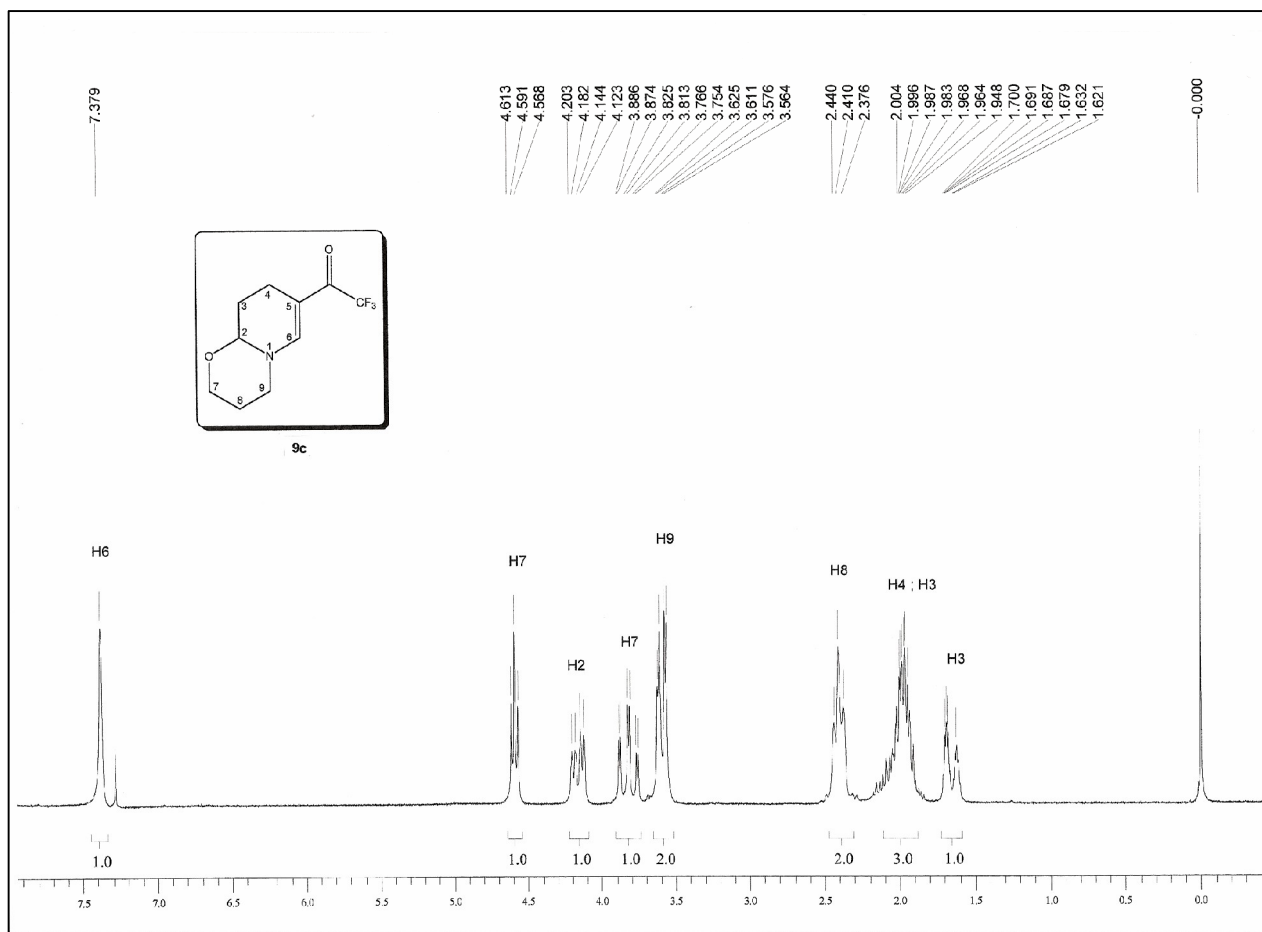


Figura 45: Espectro de ^1H RMN a 200 MHz do composto **9c** em CDCl_3 .

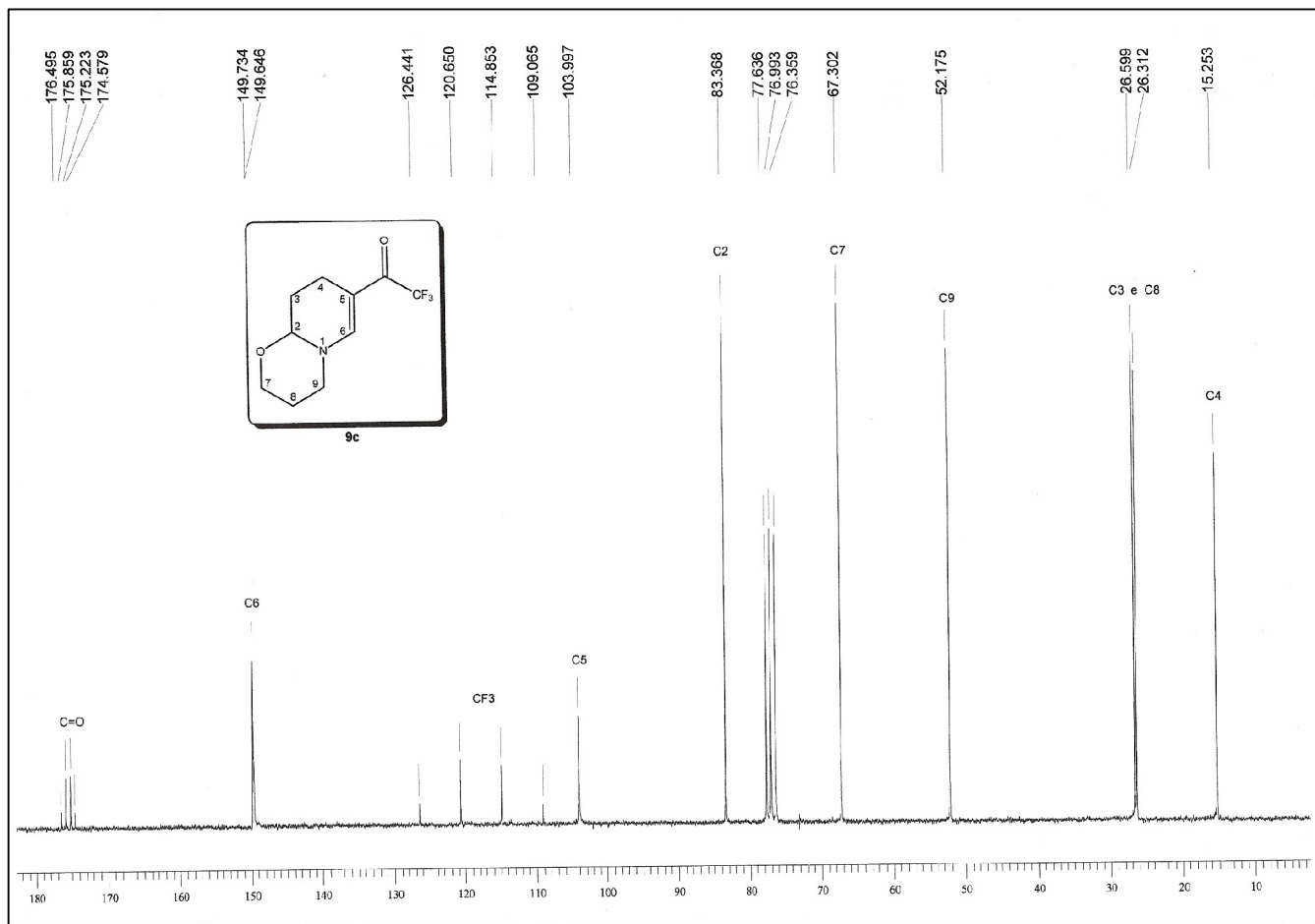


Figura 46: Espectro de ¹³C {¹H} RMN a 50 MHz do composto **9c** em CDCl₃.

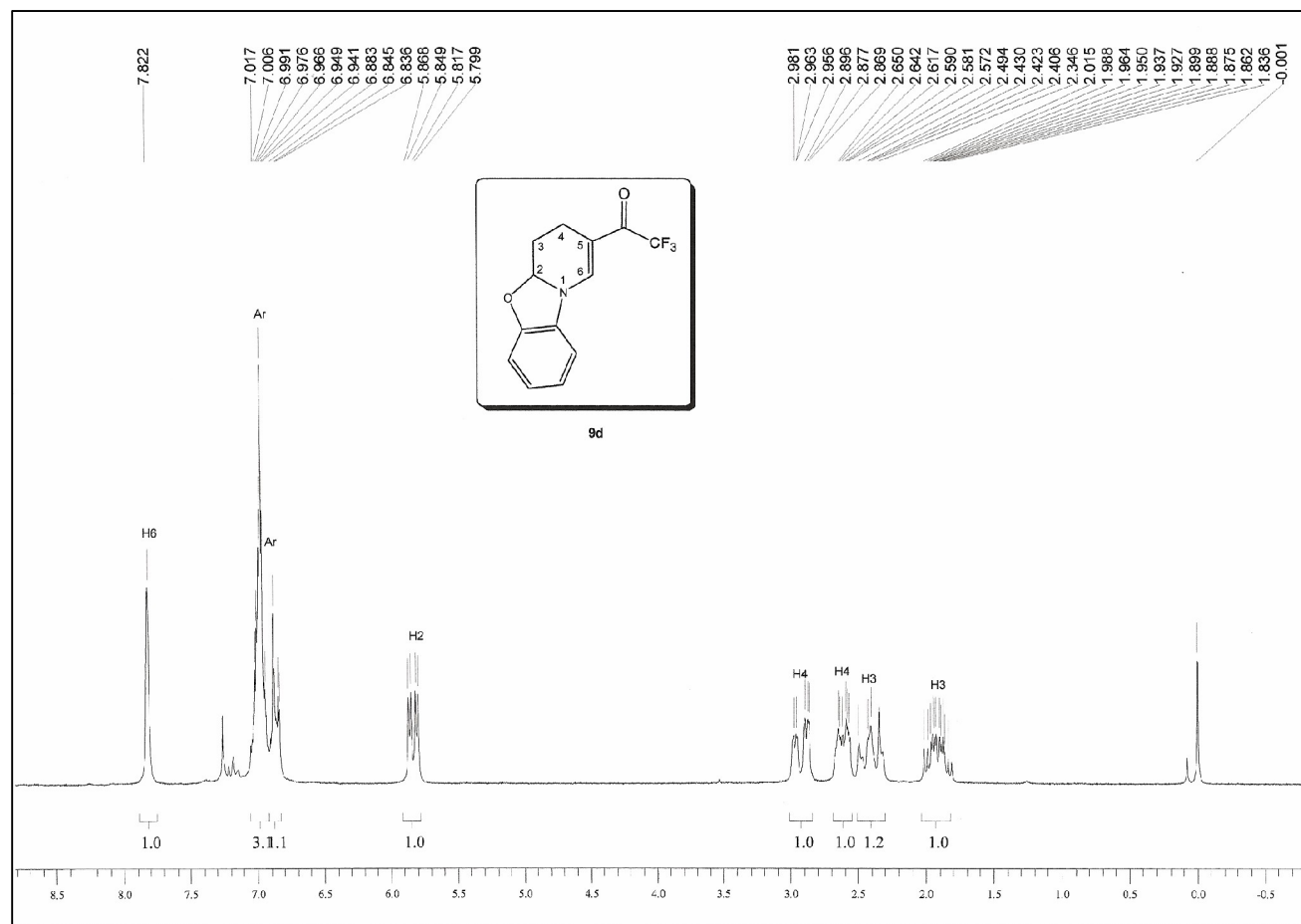


Figura 47: Espectro de ¹H RMN a 200 MHz do composto **9d** em CDCl₃.

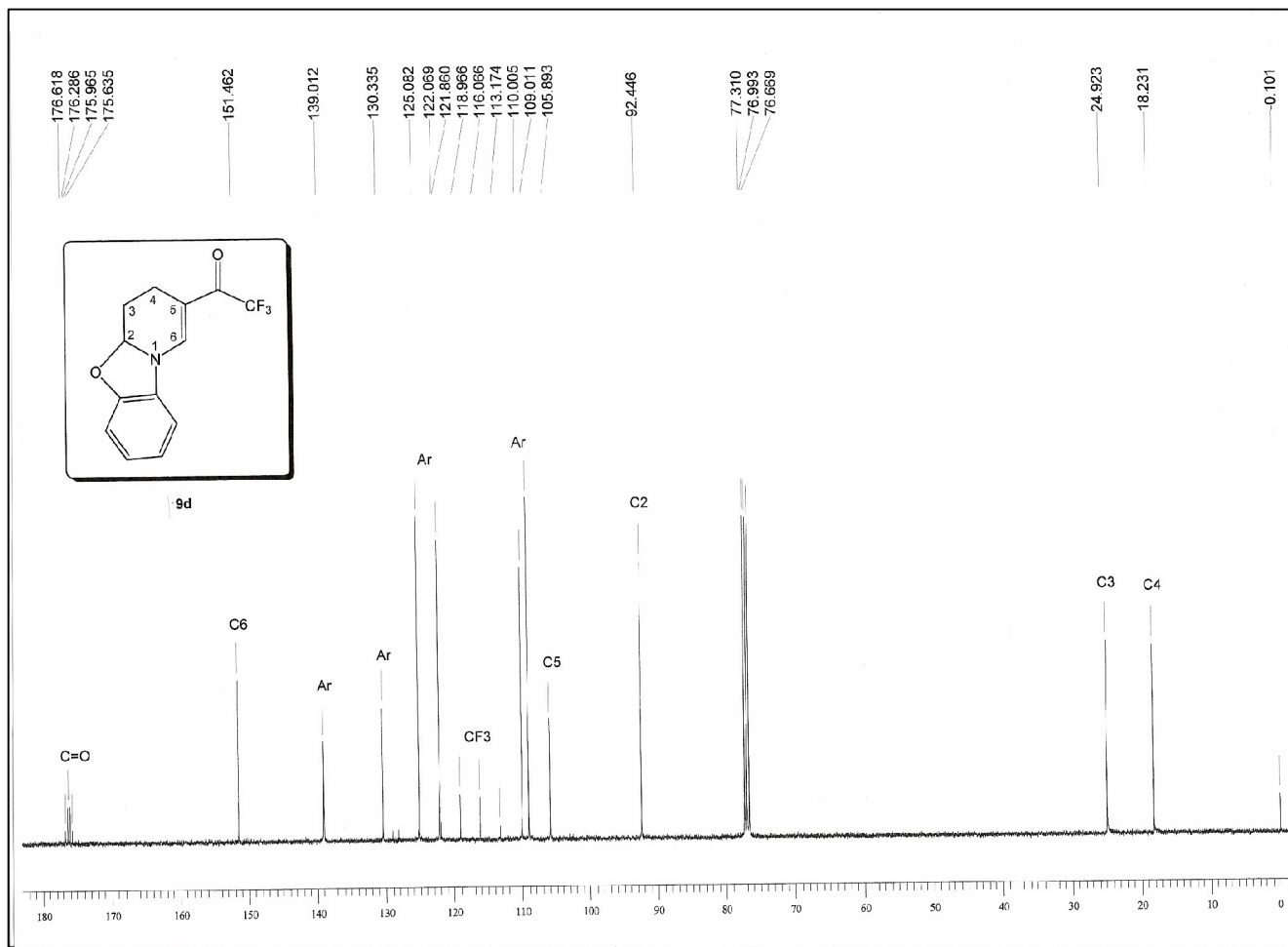


Figura 48: Espectro de ¹³C {¹H} RMN a 100 MHz do composto **9d** em CDCl₃.

ANEXO 2
Espectros de Massa dos Compostos Sintetizados

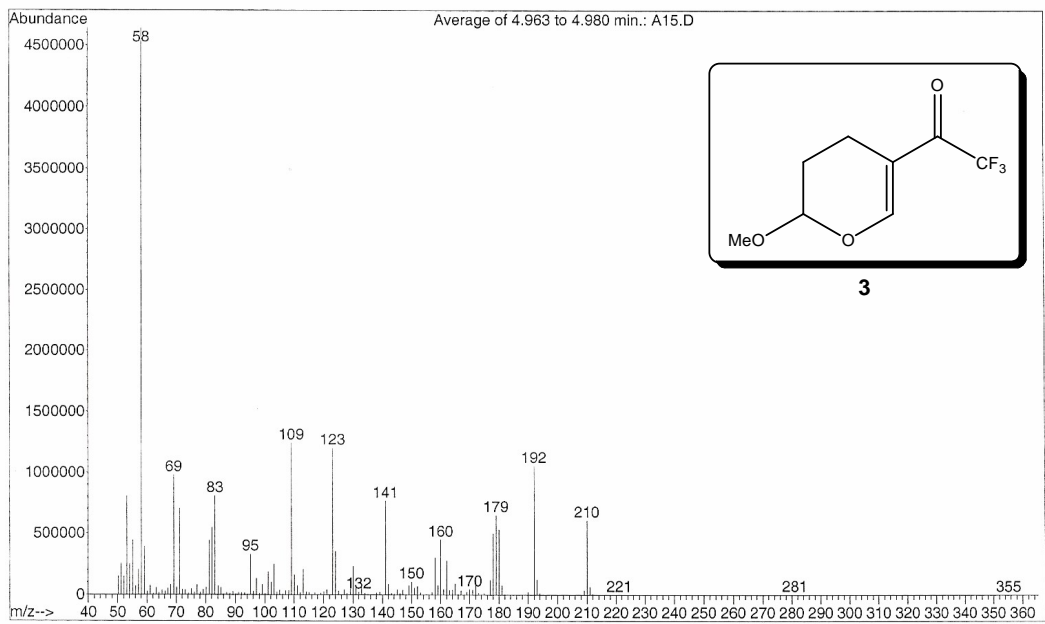


Figura 49: Espectro de massas (IE, 70 eV) do composto **3**.

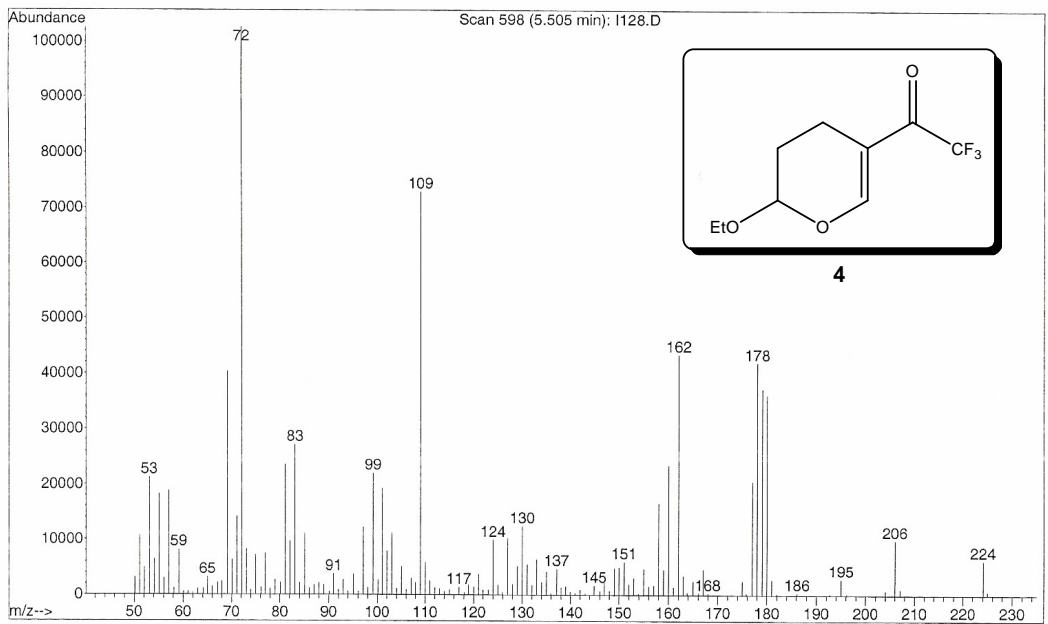


Figura 50: Espectro de massas (IE, 70 eV) do composto **4**.

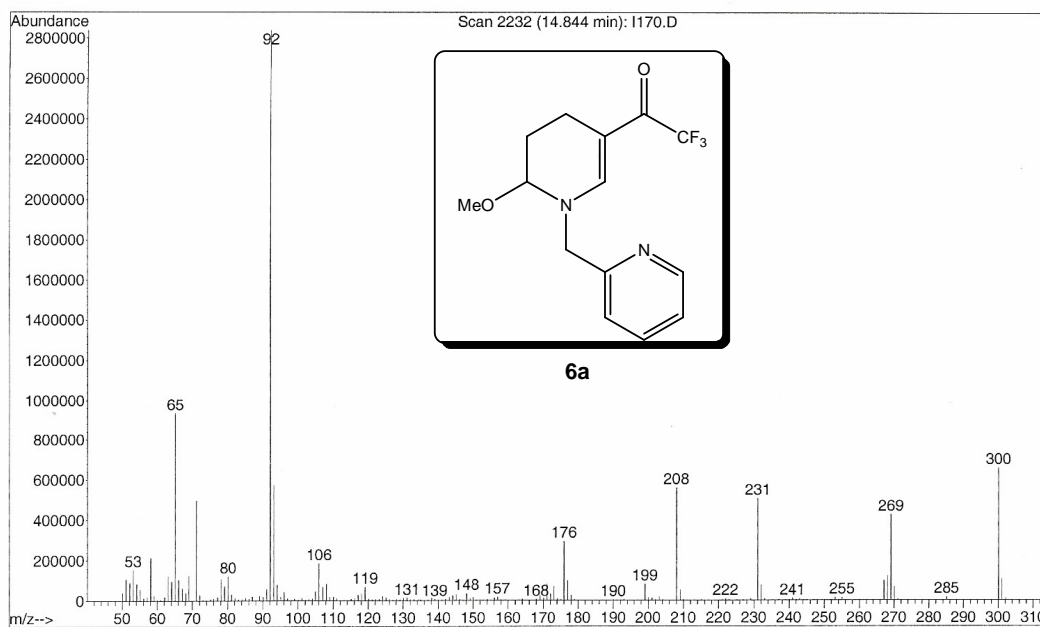


Figura 51: Espectro de massas (IE, 70 eV) do composto **6a**.

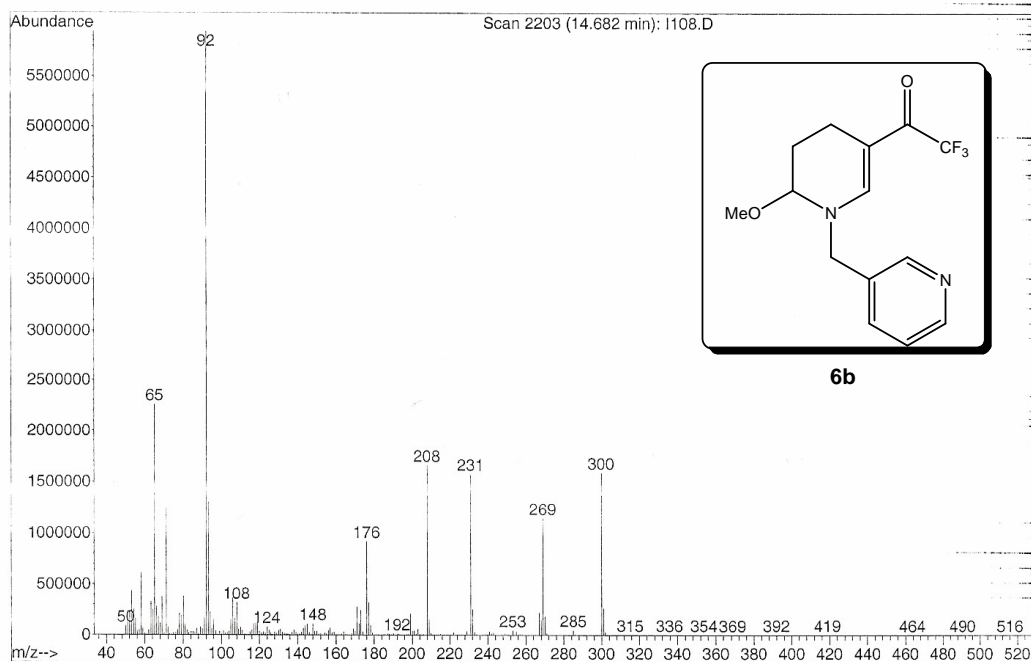


Figura 52: Espectro de massas (IE, 70 eV) do composto **6b**.

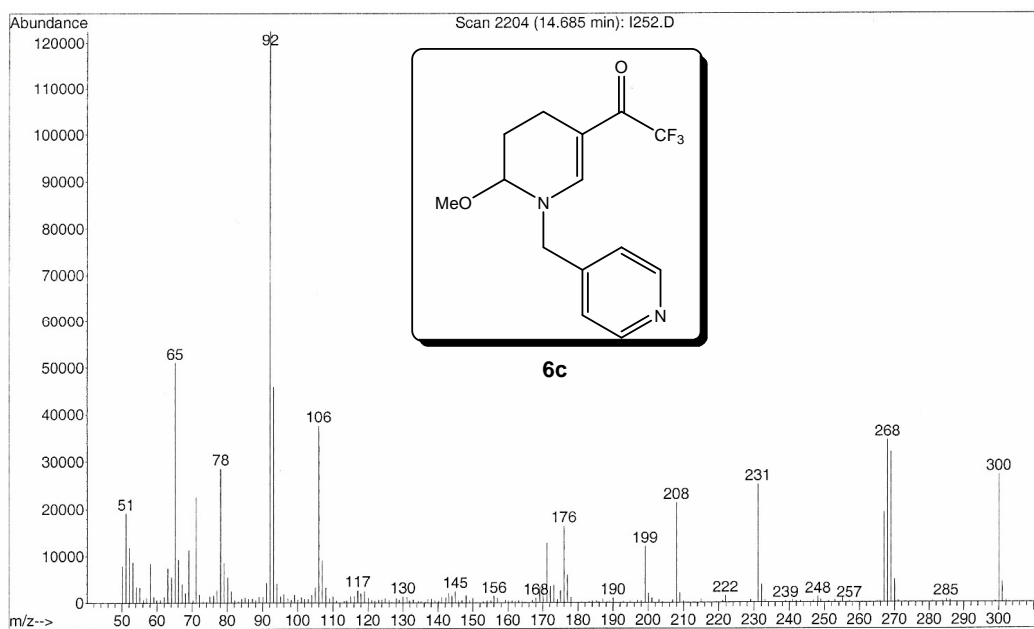


Figura 53: Espectro de massas (IE, 70 eV) do composto **6c**.

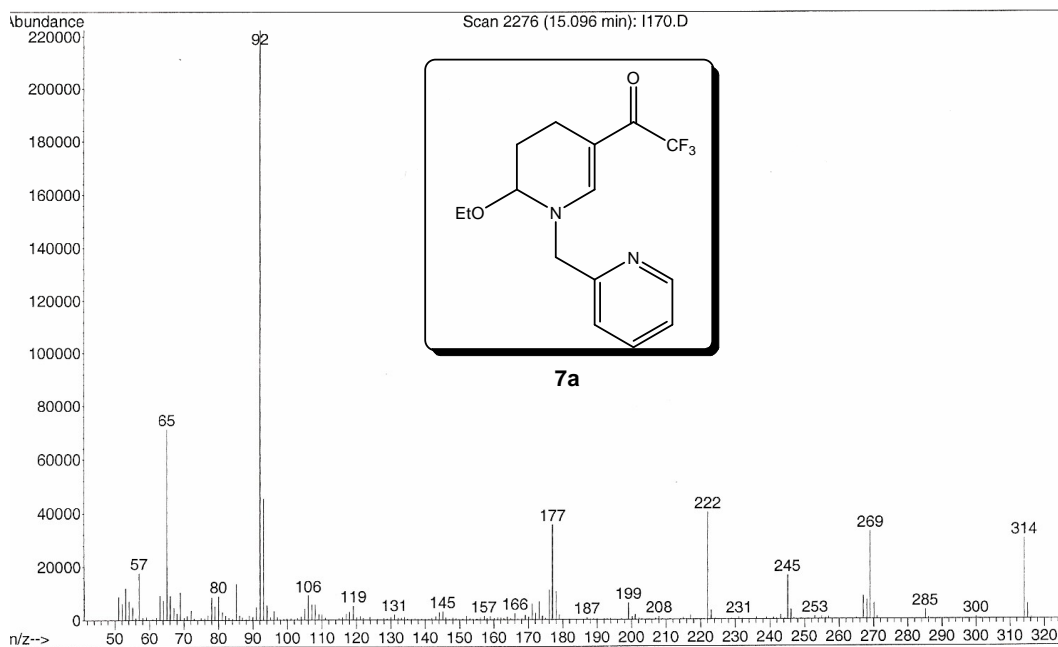


Figura 54: Espectro de massas (IE, 70 eV) do composto **7a**.

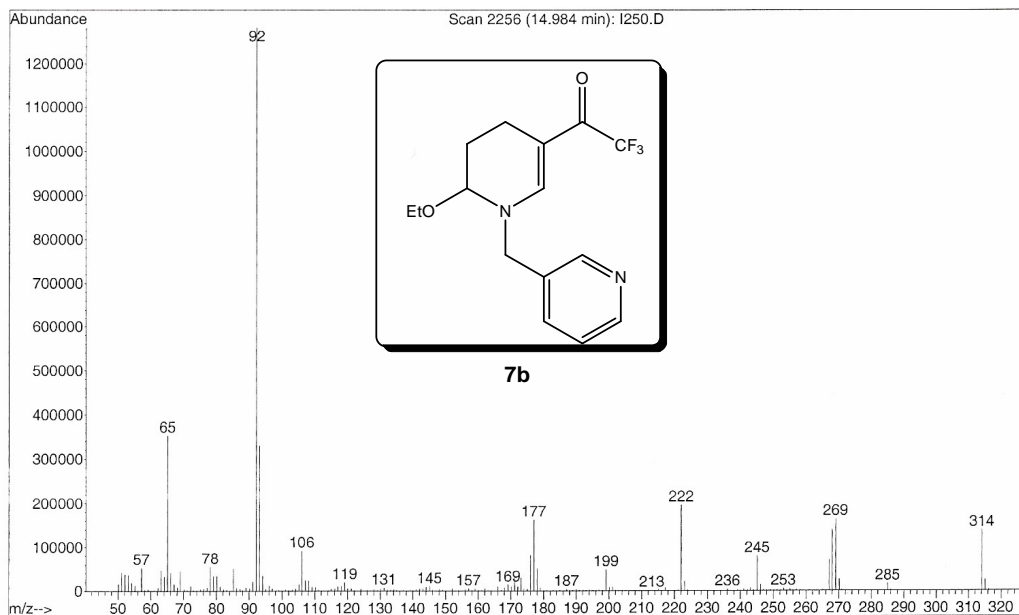


Figura 55: Espectro de massas (IE, 70 eV) do composto **7b**.

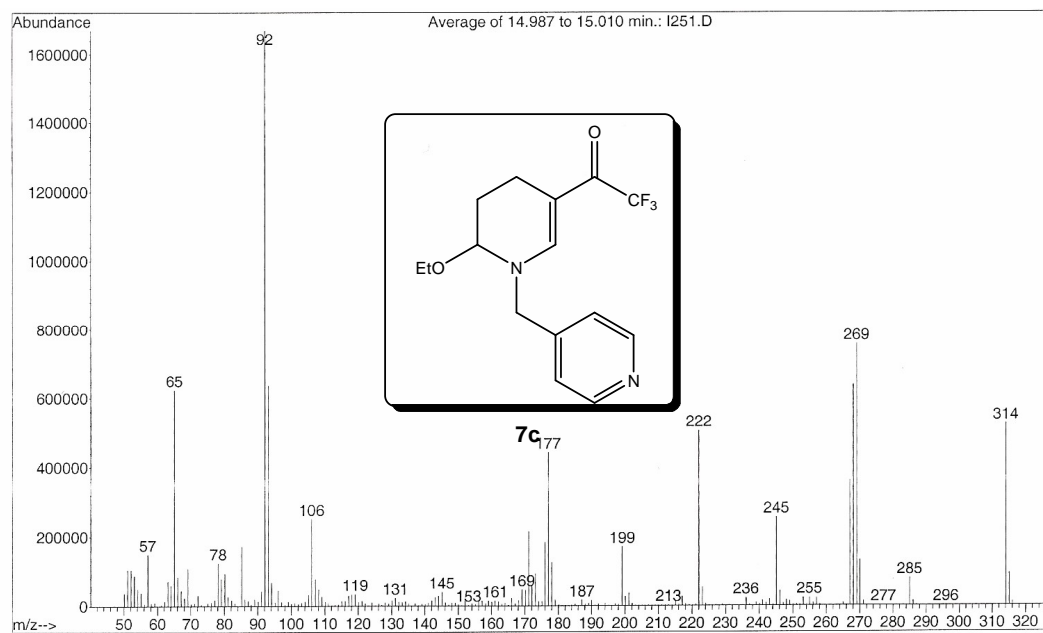


Figura 56: Espectro de massas (IE, 70 eV) do composto **7c**.

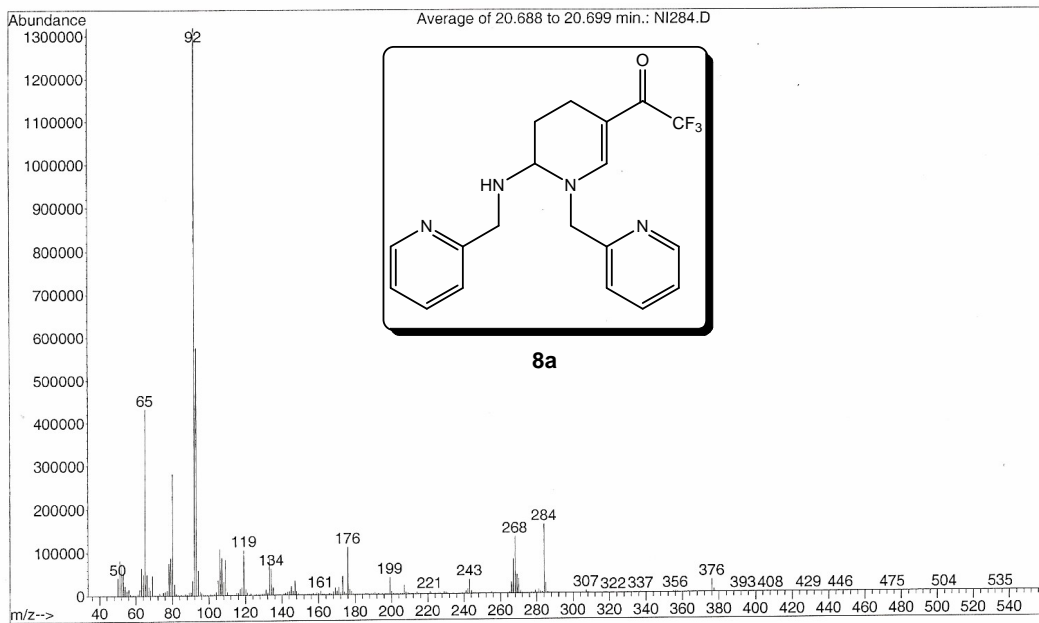


Figura 57: Espectro de massas (IE, 70 eV) do composto **8a**.

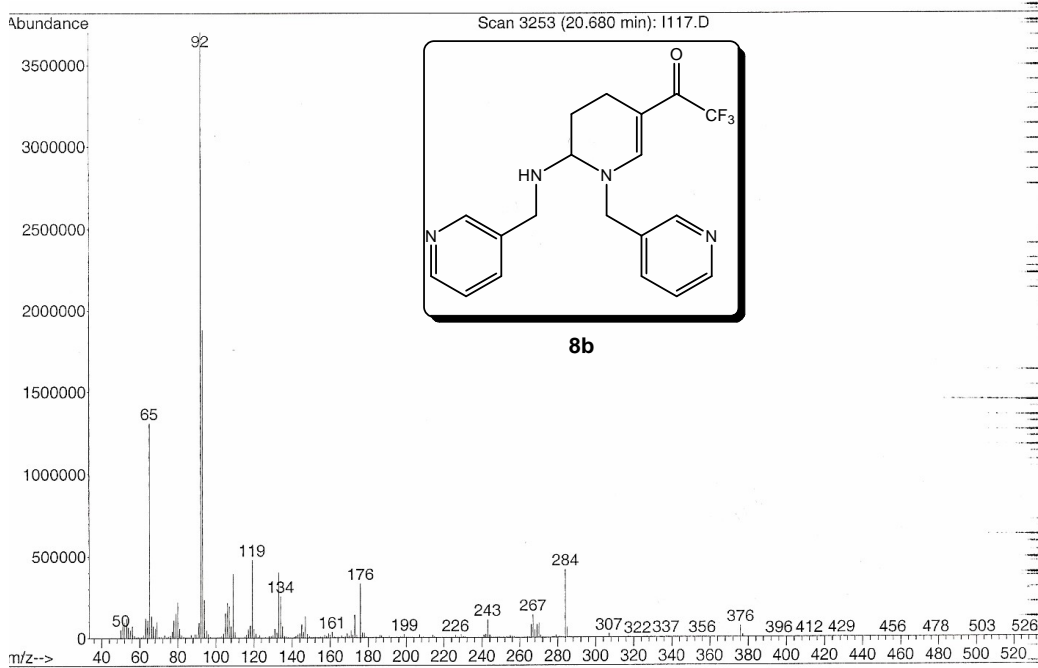


Figura 58: Espectro de massas (IE, 70 eV) do composto **8b**.

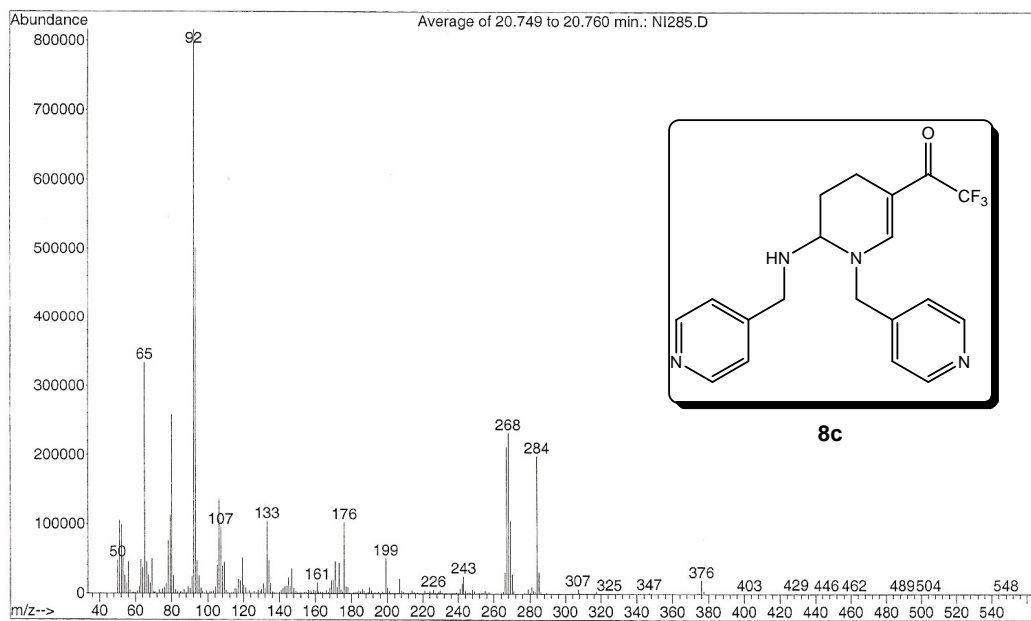


Figura 59: Espectro de massas (IE, 70 eV) do composto **8c**.

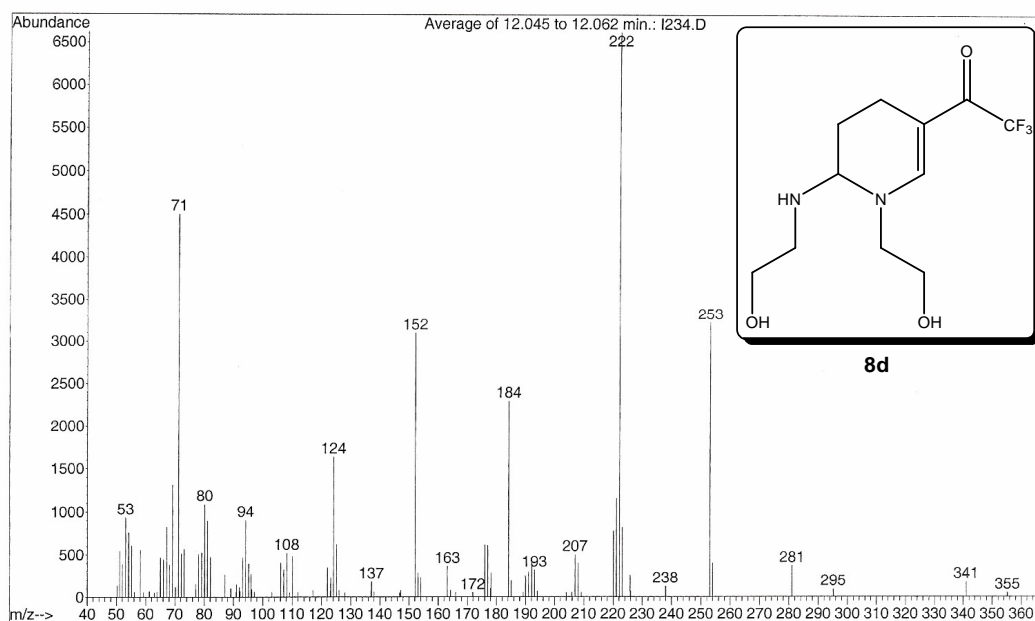


Figura 60: Espectro de massas (IE, 70 eV) do composto **8d**.

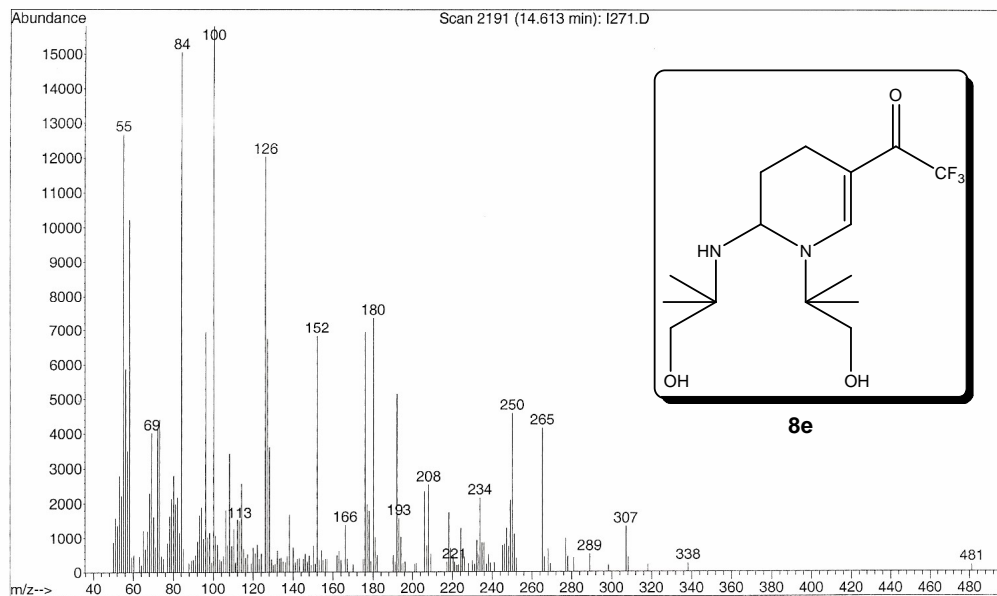


Figura 61: Espectro de massas (IE, 70 eV) do composto **8e**.

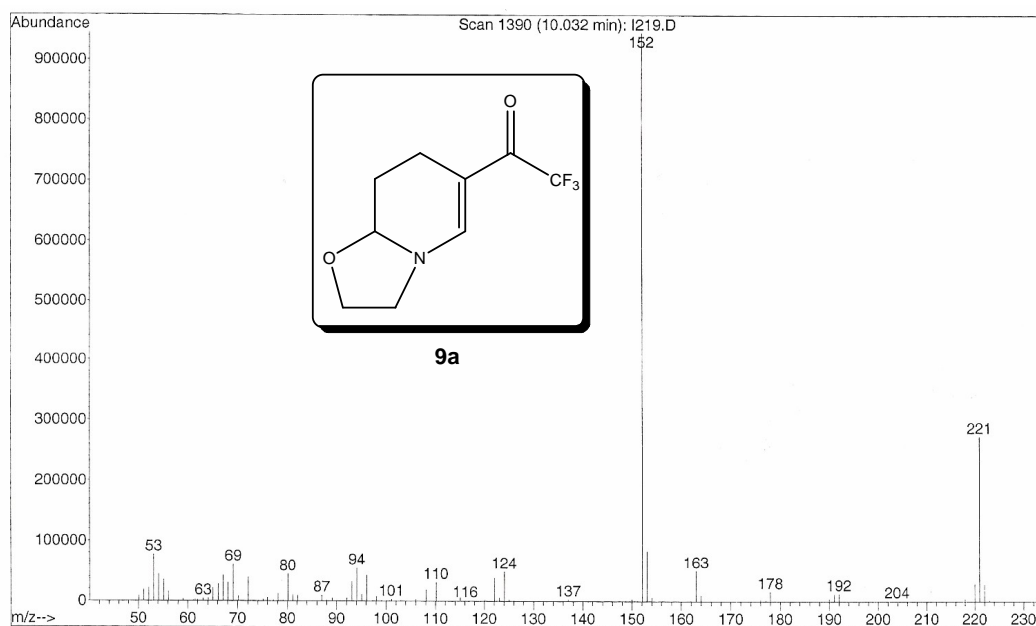


Figura 62: Espectro de massas (IE, 70 eV) do composto **9a**.

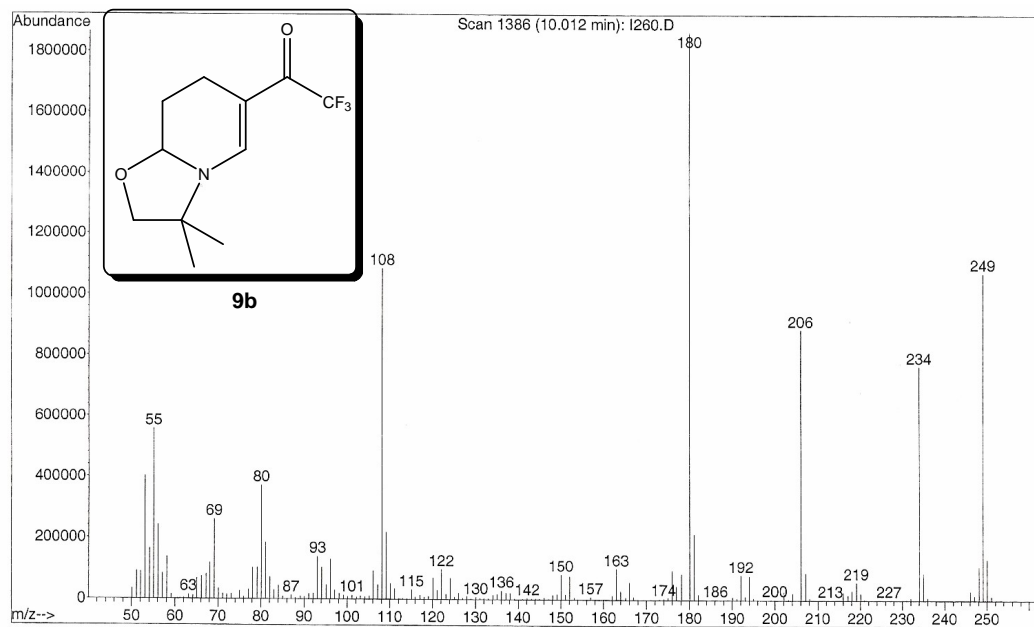


Figura 63: Espectro de massas (IE, 70 eV) do composto **9b**.

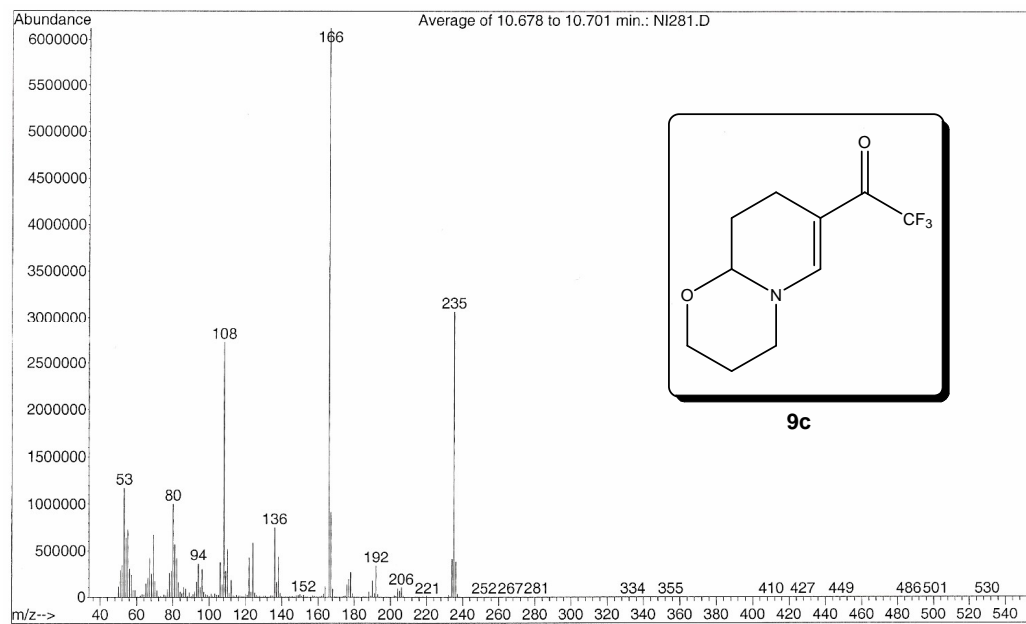


Figura 64: Espectro de massas (IE, 70 eV) do composto **9c**.

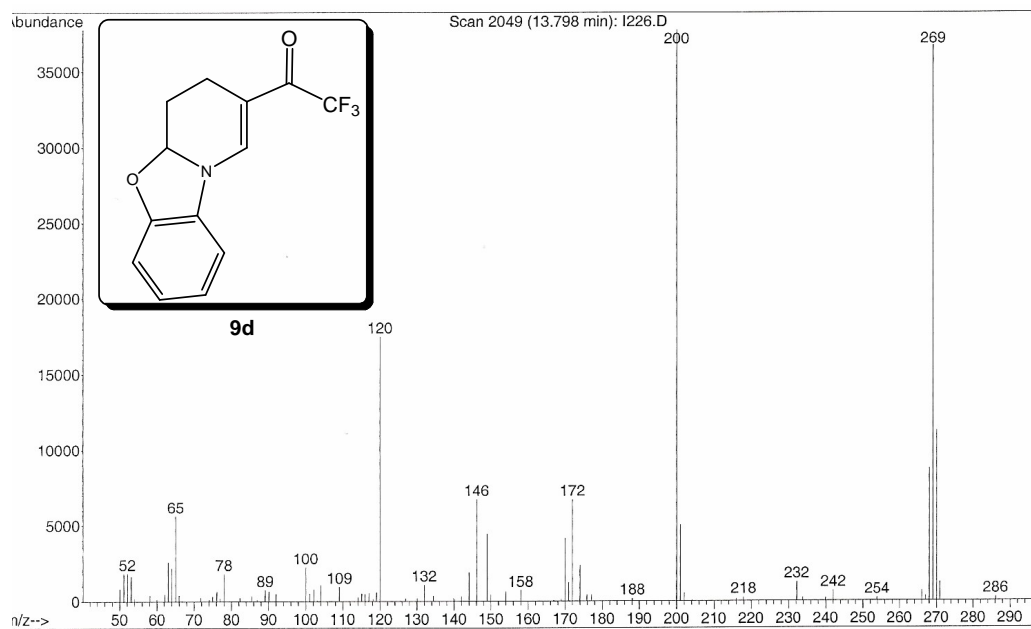
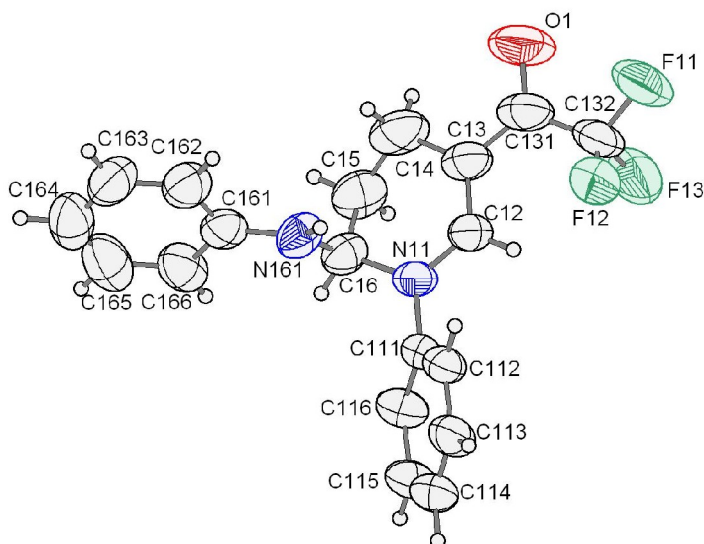


Figura 65: Espectro de massas (IE, 70 eV) do composto **9d**.

ANEXO 3

Dados dos Raios-X dos Compostos: 1-fenil-2-*N*-fenilamino-5-trifluoracetil-1,2,3,4-tetraidropiridina sintetizado por Nachtigall⁵² e do composto 9d .



Coleta dos dados de Raios-X

As medidas cristalográficas foram realizadas em um aparelho Bruker Kappa Apex II, equipado com um detector de área tipo CCD, usando radiação Mo Ka ($\lambda = 0.71073 \text{ \AA}$). A estrutura foi resolvida utilizando métodos diretos (SHELXS-97), achando todos os átomos de C, N, O e F. A estrutura foi refinada nas F^2 (SHELXL-97). Os átomos de H foram achados no mapa de densidade diferencial ($F_0 - F_c$). A unidade assimétrica do (NZ 199) tem duas moléculas cristalograficamente independentes as quais tiveram geometrias quase idênticas. Usando o método de transformação quaternário (MOLFIT in PLATON; A.L. Mackay, Acta Cryst.(1984), A40, 165-166) para uma molécula 2 invertida em molécula 1 dar um rms pesado adequado 0.10918 \AA .

Dados cristalinos do (NZ 199): $C_{19}H_{17}F_3N_2O$, $M = 346.35$, monoclinico, grupo espacial $P2_1/c$ (No. 14), $a = 8.3649(4) \text{ \AA}$, $b = 36.9909(14) \text{ \AA}$, $c = 11.062(4) \text{ \AA}$, $\beta = 90.435(2)^\circ$, $V = 3422.9(2) \text{ \AA}^3$, $T = 295(2) \text{ K}$, $Z = 8$, $D_c = 1.344 \text{ g/cm}^3$, $\mu = 0.106 \text{ mm}^{-1}$, $2.43 < \theta < 28.34^\circ$, $F(000) = 1440$; 34766 número de reflexões medidas 8547 único ($R_{int} = 0.0746$). O final $wR_2 = 0.893$ (all data), $R_1 [I > \sigma(I)] = 0.1091$, $GoF = 1.161$. CCDC No. XXXXX